
Bigravité : un modèle bimétrique d'univers avec constants variables, incluant la variation de la vitesse de la lumière

Jean-Pierre Petit et Gilles d'Agostini

International Meeting on Variational Techniques (CITV) - August 2007

Jean-Pierre Petit et Gilles d'Agostini

jppetit1937@yahoo.fr

Résumé

L'univers, bien loin d'être homogène, est en expansion au sein des immenses vides qui séparent les galaxies et qui correspond à la structure à grande échelle. Mais les galaxies ne participent pas à ce phénomène de l'expansion cosmique. On suggère qu'une brisure de symétrie s'est produite, dans un lointain passé, pendant l'ère radiative. Avant, l'hypersurface univers possédait la symétrie $O(3)$ et la solution de Robertson-Walker pouvait être utilisée. Mais, pour décrire cette phase on doit envisager que les facteurs d'échelle de longueur, de temps et l'ensemble des constantes de la physique puissent être impliqués dans un processus de jauge généralisé, qui est construit. Ceci résout le problème de l'horizon cosmologique, de l'homogénéité de l'univers primitif. Au passage la barrière de Planck disparaît.

Le présent travail est sensiblement différent des autres approches s'inscrivant dans un ensemble de théorie "à vitesse de la lumière variable", où l'auteur joua d'ailleurs un rôle de précurseur en 1988. Voir les articles cités en référence.

1) Introduction

Situons l'idée générale. Le modèle cosmologique classique est construit autour de la solution de l'équation d'Einstein qu'est la métrique de Robertson-Walker, laquelle repose sur l'hypothèse que l'univers soit isotrope et homogène. Quand ce modèle fut construit les différents concepteurs de modèles se représentaient l'univers comme un gaz dont les molécules étaient les galaxies. Celles-ci étaient animées de vitesses équivalant aux vitesses d'agitation thermique des molécules d'un gaz, faibles devant la vitesse de la lumière. Schématiquement : 1000 km/s contre 300.000 km/s. Il était donc tentant de représenter l'univers comme un « univers de poussières », immobiles les unes par rapport aux autres, et c'est ainsi que se présentent les différents modèles dits de Friedman. Cette faiblesse des vitesses relatives des galaxies fut amplement confirmée par les observations. Il s'agit

évidemment des vitesses de galaxies *les unes par rapport aux autres* et non de leurs vitesses de récession.

Mais les observations vinrent contredire cette vision, montrant que la matière était organisée autour de bulles vides d'une centaine de millions d'années-lumière de diamètre, cette structure à grande échelle étant comparable à des « bulles de savon jointives ». Par voie de conséquence le champ de courbure ne pouvait être uniforme.

Ceci soulevait un problème. Les astronomes mesurent le redshift des galaxies et Edwin Hubble déduisit en 1920 la célèbre loi qui porte son nom. Ils en conclurent que l'univers est en expansion. Mais aucun n'aurait prétendu que cette expansion a lieu au sein même des galaxies. Mais alors, où se situe cette expansion ?

Ni les systèmes planétaires, ni les galaxies ne sont en expansion, sinon ces systèmes seraient gravitationnellement instables.

Pour expliquer ces mesures de redshift, force nous est d'imaginer que certaines régions de l'univers sont en expansion et d'autres, non. La métrique de Robertson-Walker, qui est construite autour de l'hypothèse de l'isotropie et de l'homogénéité cosmique ne peut prendre en charge cette réalité observationnelle. Dans cette solution le facteur d'échelle R ne dépend que d'une variable chronologique x^0 , et ne dépend donc pas des variables d'espace qui permettent de repérer les points sur l'hypersurface tridimensionnelle $S(x^0)$. Ceci ne cadre pas avec l'observation car ce facteur d'échelle devrait dépendre des variables d'espace en même temps que de la variable chronologique.

Soit λ la longueur d'onde moyenne des photons constituant le fond de rayonnement cosmologique, corps noir à 2,7 °K. Celle-ci suit la variation du facteur d'échelle R . Ainsi l'expansion se situe-t-elle dans ces grands vides peuplés par ces photons cosmologiques. Ceux-ci ne sont pas *dans* ces régions de l'espace. Ils *sont* l'espace. Le contenu et le contenant ne forment qu'une seule et même entité. On pourrait comparer les photons à des oscillations qui se propageraient dans un drap, qui se détendrait. Ainsi la longueur d'onde des oscillations évoluerait-elle comme la dimension du drap.

On associe aux particules matérielles une dimension caractéristique : la longueur d'onde de Compton :

(1)

$$\lambda_c = \frac{h}{mc}$$

Si on considère que la constante de Planck h , la vitesse de la lumière c et la masse m ne changent pas, alors la longueur d'onde de Compton ne varie pas au cours du temps. Ceci correspond à l'idée introduite par Mach en 1883, selon laquelle l'espace et la matière pouvaient être étroitement liés. J'avais illustré ce concept dans la bande dessinée, publiée en 1990, que j'avais intitulée « Le Chronologicon », dans la série des Aventures d'Anselme Lanturlu. Ceci correspond à la page 61.



Figure 1 : Page 61 de mon livre « Le Chronologicon »

Quand on remonte vers le passé de l'univers et que celui-ci devient de plus en plus chaud, l'univers est rempli, pour reprendre le mot de Steven Weinberg dans son célèbre ouvrage "Les Trois Premières Minutes", de toutes sortes de rayonnements". L'analyse de l'univers primitif, se déduisant du fond de rayonnement radio donne une forte homogénéité, à 10^{-5} près. Si on garde en tête l'image des cubes de glace plongés dans de l'eau, lorsqu'on remonte vers le passé, ces cubes et le liquide ne formeraient plus qu'un milieu homogène.

Ceci suggère qu'une brisure de symétrie se soit produite durant l'ère radiative. Revenons à la façon dont la solution de Robertson-Walker est construite, en tant que solution de l'équation de champ d'Einstein. On commence par définir, dans l'hypersurface espace-temps un système de coordonnées gaussiennes, basé sur quatre familles de géodésiques. On oriente alors ainsi l'hypersurface à la fois dans le temps et dans l'espace. On associe à la dimension « temps » la variable chronologique x^0 . L'espace-temps se trouve ainsi constitué par une famille d'hypersurfaces S , orthogonales aux géodésiques le long desquelles on mesure la variable chronologique x^0 , qu'on appelle alors lignes d'univers. Les points de ces hypersurfaces tridimensionnelles S sont alors repérés à l'aide de coordonnées d'espace (x^1, x^2, x^3) . Si on suit au cours du temps un point décrivant une ligne d'univers de l'espace-temps on dira qu'il est comobile. La solution de Robertson-Walker suppose :

- Qu'il existe un temps cosmique global x°
- Que l'espace est supposé localement isotrope
- Que deux points distincts, à une même époque x° sont considérés comme équivalents. .

On choisit alors un point arbitraire de l'espace, qui servira d'origine pour un système de coordonnées hypersphériques (r, θ, φ) . On introduit un facteur d'échelle d'espace, une jauge d'espace $R(x^\circ)$ et on écrit la coordonnée radiale sous la forme :

$$(2) \quad r = R(x^\circ) u \quad \text{où } u \text{ est une variable adimensionnelle.}$$

La métrique de Robertson-Walker devient :

$$(3) \quad ds^2 = dx^{\circ 2} - \left[R_{(x^\circ)} \right]^2 \frac{du^2 + u^2 (d\theta^2 + \sin^2 \theta d\varphi^2)}{(1 + k^2 u^2)^2}$$

$k = \{-1, 0, +1\}$ est l'indice de courbure. Les coordonnées (u, θ, φ) sont alors sans dimension (nombre et angles). Un point comobile sera tel que ses (u, θ, φ) coordonnées soient invariantes. Comme on l'a souligné plus haut, cette description de l'univers à travers cette métrique ne cadre pas avec les observations.

Nous pouvons traduire cette idée en introduisant une image didactique 2d. Sur la droite de la figure 2 nous avons fait figurer un cube dont les huit sommets sont émoussés. Plus précisément, nous avons fait en sorte que ces coins émoussés du cube correspondent chacun à un huitième de sphère. Ces portions de sphère sont alors jointes par des surfaces planes, carrées et par des portions de cylindre (des quarts de cylindre)

Ces éléments sont euclidiens. Si nous traçons un triangle, constitué par des géodésiques, sur cette surface et que celui-ci contienne un des sommets émoussés, la somme des angles vaudra 180° (la somme euclidienne) plus 90° (courbure contenue dans ce huitième de sphère). Si le triangle ne contient pas de portion courbée, la somme vaudra 180° .

Ce modèle didactique 2d est censé représenter un univers contenant huit concentrations de matière, séparées par des éléments d'espace euclidien (vides). La suite d'images, de la gauche vers la droite, de la 1 à la 4, évoque l'expansion de cet univers dans le temps. Les images 1 et 2 de cette figure 2 sont des sphères. A partir de cette étape 2 se produit une brisure de symétrie. Dans les éléments 1 et 2 les sphères obéissent à la symétrie $O(2)$. Puis l'objet perd cette symétrie. Si on disposait ces différents éléments à la manière de poupées russes, les cubes à sommets émoussés ne se déduiraient pas les uns les autres par homothétie.

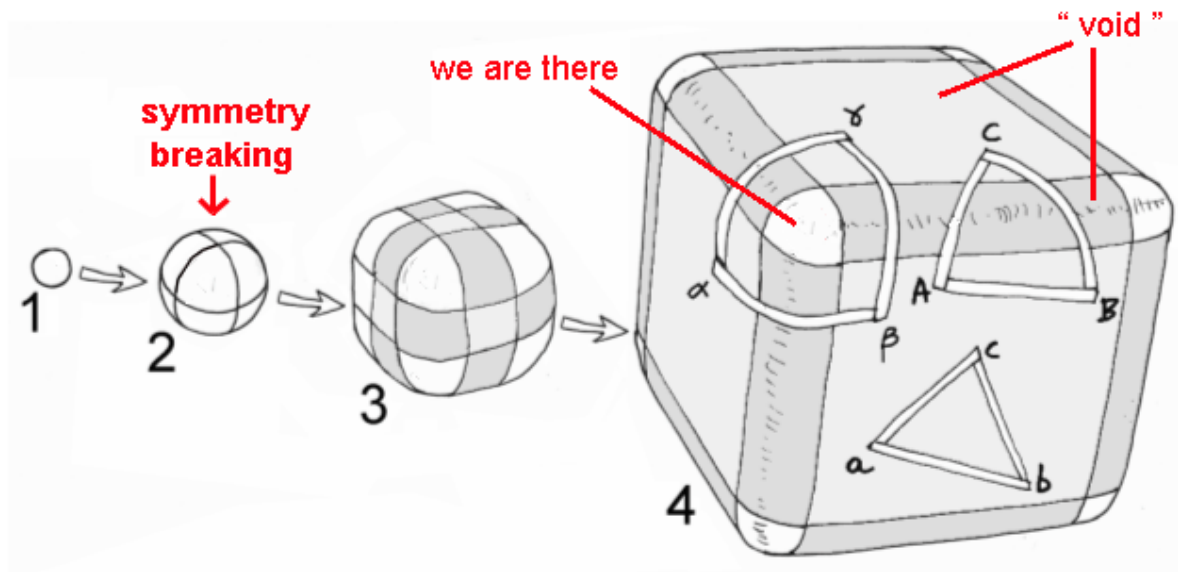


Figure 2 : **Image didactique 2d d'un univers en expansion, au cours de laquelle se produit, image 2, une rupture de symétrie.**

On sait que la courbure totale de la sphère S^2 est 4π . C'est la raison pour laquelle chaque huitième de sphère contient une courbure égale à $\pi/2$. Ici nous avons pris huit régions de courbure concentrée, mais nous aurions pu en prendre un nombre illimité. L'objet pourrait alors être assimilé à un diamant dont les sommets anguleux et les arêtes seraient émoussés. On remarquera au passage que dans un diamant les sommets sont des points de courbure concentrée, positive, mais que les arêtes, assimilables à des plis de la surface, ne contiennent aucune courbure.

Un géomètre étendrait immédiatement l'idée à une portion d'espace tridimensionnel où on pourrait localiser des régions 3d où l'espace est courbé, séparées par des portions à courbure nulle (euclidiennes). Ces régions à courbure positive pourraient être assimilées à des galaxies.

Dans un tel univers 3d, en expansion, les portions courbes conserveraient un volume invariable au cours de l'expansion, tandis que des régions euclidiennes se dilateraient. On peut alors imaginer une rupture de symétrie analogue. Antérieurement à cet instant où la brisure de symétrie s'opère, l'espace possède la symétrie $O(3)$.

Voilà donc l'idée générale. Nous supposons que la métrique de Robertson-Walker convient pour décrire l'univers dans sa phase primitive, quand il possède la symétrie $O(3)$. Ce que nous suggérons c'est que ces deux phases de l'évolution cosmique correspondent à des processus évolutifs différents.

Quand nous voulons construire un modèle d'évolution cosmique nous devons combiner :

- Des aspects de pure géométrie, liés à l'équation d'Einstein.
- Satisfaire les exigences de la Relativité Restreinte (invariance par les rotations de Lorentz)

- Notre modèle doit pouvoir intégrer les lois de l'électromagnétisme, correspondant aux équations de Maxwell.
- Intégrer également la mécanique quantique, en satisfaisant ses équations.

Tous ces aspects mettent en jeu un certain nombre de grandeurs :

G : constante de la gravitation
 c : vitesse de la lumière
 m : masses
 h : constante de Planck
 e : charge électrique unitaire
 μ_0 : perméabilité magnétique du vide

Ces grandeurs apparaissent dans des équations à l'aide desquelles nous pourrions concevoir des appareils de mesure. Si on pousse les choses dans leurs derniers retranchements, le premier instrument de mesure est l'observateur humain lui-même. L'unité de longueur est son propre corps, ou la valeur moyenne du corps des êtres humains. L'unité de temps est la durée moyenne de la vie humaine.

Le corps permet des mesures de distance (la « coudée » , le « pas »). L'observation des phénomènes célestes permet à l'homme d'envisager des étalons de temps. L'année devient ainsi en moyenne la 70^e partie de sa durée de vie moyenne. Le mois lunaire correspond à une rotation du satellite sélène de la terre. Le jour est la 365^e partie de l'année. Le jour moyen comporte 24 heures, composées chacune de 3600 secondes. Un pendule de torsion pourra être construit, qui batte la seconde de façon reproductible.

Dotés de « lois de la physique » l'homme peut ainsi concevoir tout un éventail d'instruments de mesure de longueurs, de temps, d'angles, de masse, etc... Toutes ces mesures, mettant en jeu de la mécanique, permettent d'évaluer les valeurs des grandeurs précitées. L'expérience montre alors qu'on ne décèle aucune variation, aussi infime soit-elle, à l'échelle de vies humaines. Les mesures effectuées à des distances astronomiques, indirectes, ne mettent pas non plus en évidence le fait que la physique puisse changer d'un point de l'espace à l'autre. Emerge alors la croyance selon laquelle ces grandeurs pourraient être absolues et universelles.

A partir de ces constantes et de l'équation de Schrödinger on peut faire émerger deux grandeurs caractéristiques

La longueur de Planck :

(4)

$$L_P = \sqrt{\frac{hG}{c^3}}$$

Le temps de Planck :

(5)

$$t_P = \sqrt{\frac{hG}{c^5}}$$

Il apparaît impossible de tenter de décrire des structures dont les dimensions caractéristiques soient inférieures à cette longueur ou (/et) des processus se déroulant dans des temps inférieurs au temps de Planck. Ainsi la mécanique quantique engendre ses propres limites à l'échelle microphysique.

On peut aussi se demander si cette émergence n'est pas une façon que la nature utilise pour évoquer sa nature discrète, dans les dimensions d'espace comme dans la dimension de temps.

Si on part de l'idée que les grandeurs apparaissant dans les équations de la physique sont des constantes absolues il est alors licite de se demander quel pourrait être le comportement de l'univers quand son âge est inférieur au temps de Planck. Ainsi est né le mythe de l'époque pré-quantique.

On remarque qu'il est impossible de construire des appareils permettant d'effectuer des mesures locales des grandeurs précitées et d'étudier leur éventuelle évolution dans le temps. Tout simplement, comme nous allons le montrer, parce que les appareils de mesure dérivent alors « parallèlement » aux grandeurs qu'ils sont censés mesurer.

2) Existence d'une relation de jauge fondamentale

Tous les physiciens connaissent une technique nommée analyse dimensionnelles. Elle consiste, dans des équations, à rendre les variables de longueur et de temps adimensionnelles. On peut alors comparer entre eux les différents termes d'une équation et chercher si certains sont prépondérants et d'autres négligeables.

Une méthode analogue peut être mis en œuvre en considérant les « constantes de la physique » comme autant de nouvelles variables. Appelons par exemple G_0 la valeur actuelle la constante de la gravitation. Nous pouvons envisager une variation de celle-ci en posant :

(6)

$$G = F G_0$$

où F est une fonction à valeur numérique. On peut faire subir le même traitement aux autres constantes, ainsi qu'aux variables espace et temps. C'est déjà ce que nous faisons pour les longueurs en introduisant un facteur d'échelle R et en posant (2). Il nous faudra faire apparaître un temps caractéristique t_0 et rendre cette variable temps également adimensionnelle.

Est-il alors possible d'envisager des variations de jauge conjointes, de toutes ces grandeurs, laissant toutes les équations invariantes ?

La réponse est oui, voir référence [4]. On voit émerger la raison pour laquelle il est impossible de mettre des variations de ces « constantes » en évidence, à l'aide d'instruments construits à partir de ces équations. A titre de comparaison, tenter l'expérience serait comme vouloir mettre en évidence les variations de longueur d'une table en fer, sous l'effet d'un changement de la température ambiante, en mesurant sa longueur avec une règle faite du même métal.

On serait tenté de dire « mais alors, quel est l'observable ? ». Il en est un, loin d'être négligeable : c'est la grande homogénéité du cosmos primitif, soulevant ce qu'on appelle « le problème de l'horizon »..

Nous établirons ces relations de jauge plus loin. Elle repose sur l'existence d'un groupe, qui reste encore à découvrir.

3) La physique d'aujourd'hui

Aucun astronome n'irait prétendre que le système solaire participe au processus général de l'expansion cosmique. Considérons une sorte de système de référence constitué par deux masses m cheminant selon une orbite circulaire.



Figure 3 : Deux masses orbitant circulairement autour de leur centre de gravité commun

La force centrifuge est alors exactement contrebalancée par la force gravitationnelle :

(7)

$$\frac{mV^2}{r} = \frac{Gm}{4r^2}$$

Si l'orbite de ce système s'accroissait, toutes choses restant égales par ailleurs, celui-ci deviendrait instable. Dans la mécanique céleste classique nous considérons que G et m sont des constantes absolues. L'énergie cinétique et le moment cinétiques sont conservés. Cette orbite ne saurait donc s'inscrire de manière comobile dans une hypersurface 3d intégrée au modèle de Robertson-Walker, lequel suppose que l'expansion est à l'œuvre dans toutes les régions de l'espace.

Dans la Relativité Générale on suppose que les masses suivent des géodésiques de l'hypersurface quadridimensionnelle, de l'espace-temps. Nous ne savons pas, présentement, construire de solution métrique non stationnaires qui intègrent le caractère non-homogène de notre univers. En dehors de ces solutions stationnaires, fondées sur les hypothèses d'isotropie et celle, infondée, d'homogénéité nous ne savons construire que des solutions stationnaires comme celles de Schwarzschild et de Kerr, qui nous permettent de rendre compte de faits d'observation comme l'avance du périhélie des planètes et l'effet de lentille gravitationnelle.

Revenons à cette image didactique 2d du cube doté de sommets émoussés, composés de huitièmes de sphère qui ne participant pas au mouvement d'expansion de l'objet.

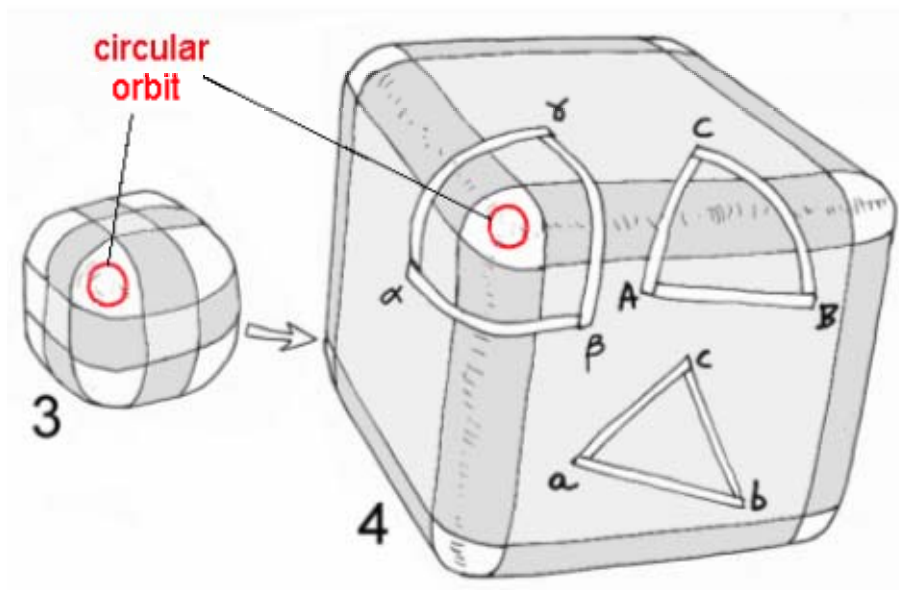


Figure 4 : Localisation de l'orbite circulaire de notre système de référence

Nous pouvons qualifier cette géométrie de « composite ». Si nous voulons inscrire sur cette surface la trajectoire circulaire décrite par nos deux masses il sera indiqué de le faire dans une portion qui ne se dilate pas, soit « dans une région de concentration de matière », c'est-à-dire dans les coins émoussés.

Si on envisage alors l'évolution d'une hypersurface 3d il faudrait envisager que celle-ci soit également « composite » et se présente sous la forme de régions d'espace-temps raccordées, les régions courbes étant dans un état quasi-stationnaire.

Il est évident qu'actuellement nous ne savons pas faire une telle chose. Quand nous effectuons des calculs par exemple d'avance du périhélie de Mercure nous ne tenons pas compte d'une quelconque expansion cosmique. La région où se situe notre système solaire, et même la galaxie toute entière sont censées être situées dans des portions d'espace temps en état de quasi-stationnarité.

4) L'évolution du cosmos primitive considérée comme un processus de jauge.

Si nous remontons plus loin dans le passé nous retrouverons l'univers quand il obéissait à la symétrie $O(3)$, c'est à dire avant la rupture de symétrie. Si nous voulons alors figurer l'orbite des deux masses témoin il nous faudra envisager que celle-ci puisse suivre celle du facteur l'échelle $R(x^\circ)$. Nous avons figuré ceci en 2d dans l'image didactique de la figure 4.

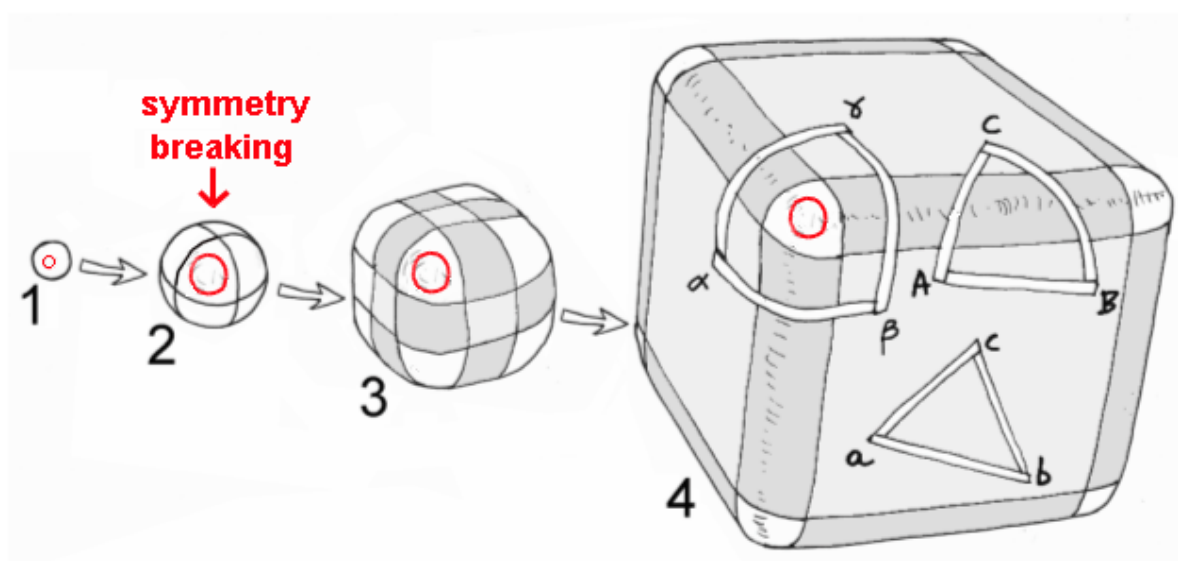


Figure 5 : Image didactique 2d de la brisure de symétrie

Nous voulons toujours que les équations de la physique continuent de s'appliquer sans qu'apparaissent « de termes sources » supplémentaire. Nous devons envisager que les constantes puissent alors varier. Le bénéfice final sera d'expliquer l'homogénéité de l'univers primitif et de résoudre le problème de l'horizon, sans avoir besoin de faire recours à la théorie de l'inflation. Comme montré dans différents travaux antérieurs, dont [4], dans ce processus de jauge toutes les longueurs caractéristiques varient comme R et toutes les énergies sont conservées.

Nous allons commencer par examiner ce qui découle de l'invariance de l'équation de champ d'Einstein, que nous prendrons ici avec une constante cosmologique nulle, puisque cette dernière, si elle joue un rôle, n'intervient que très tardivement, quand les particules sont très éloignées les unes des autres.

(8)

$$S = \chi T$$

Cette équation est à divergence nulle, ce qui implique que la grandeur χ se comporte comme une constante absolue.

Faisons ici une parenthèse en rappelant comment cette grandeur est évaluée. On développe la métrique au voisinage d'une solution à l'ordre zéro qui est la métrique de Lorentz, stationnaire. On introduit un petit paramètre et un terme de perturbation qui est choisi également indépendant du temps :

(9)

$$g = \eta + \varepsilon \gamma$$

On se place dans le cadre de l'approximation newtonienne. C'est-à-dire qu'on suppose que la courbure est faible, ce qui se lit dans (9), et que les vitesses sont faibles devant la vitesse de la lumière. Cette seconde approximation interviendra dans l'écriture du tenseur impulsion-énergie T . On linéarise l'équation de champ et on identifie alors le terme du potentiel

métrique qui subsiste au potentiel gravitationnel, à une constante multiplicative près. La constante d'Einstein est alors calculé en identifiant l'équation de champ linéarisée à l'équation de Poisson. La valeur trouvée dépend de la façon dont on écrit le tenseur T . Si on y fait figurer la vitesse de la lumière on obtiendra une expression de la constante d'Einstein où c figure au dénominateur à la puissance quatrième. Si au contraire on se réfère à la méthode initiale ([19], section 10.5) en écrivant :

$$(10) \quad T^{00} = \rho$$

l'identification conduit à

$$(11) \quad \chi = -\frac{8\pi G}{c^2}$$

On remarquera tout de suite une chose. Si cette méthode permet d'évaluer la valeur de la constante absolue χ , comme elle se fonde sur des fonctions métriques stationnaires, ce résultat n'implique nullement que G et c soient séparément des constantes absolues, mais simplement que

$$(12) \quad G \approx c^2$$

Si nous écrivons que le rayon de Schwarzschild varie comme R nous obtenons :

$$(13) \quad \frac{Gm}{c^2} \approx R \quad m \approx R$$

et la conservation de l'énergie nous fournit immédiatement :

$$(14) \quad mc^2 \approx Cst \quad c \approx \frac{1}{\sqrt{R}} \quad G \approx \frac{1}{R}$$

Ecrivons maintenant que la longueur de Planck varie comme R , ce qui nous donne :

$$(15) \quad \sqrt{\frac{hG}{c^3}} \approx R \quad \frac{h}{c} \approx R^2 \quad h \approx R^{3/2}$$

L'invariance de l'énergie cinétique (ou indifféremment l'hypothèse que la longueur de Jeans varie comme R) donne :

$$(16) \quad V \approx \frac{1}{\sqrt{R}} \approx c$$

Ecrivons maintenant que le rayon de l'orbite circulaire le long de laquelle cheminent nos deux masses-témoins varie comme R , nous obtenons :

(17)

$$T \approx R^{3/2}$$

On reconnaît la loi de Kepler. Remarquons que :

(18)

$$R = c T$$

La conservation de l'énergie, liée à la mécanique quantique $h \nu = h / \tau$ donne :

(19)

$$\tau \approx h \approx R^{3/2} \approx T$$

On remarquera au passage que ceci traduit une rencontre entre théorie de la gravitation et théorie quantique, à élucider. Passons maintenant à l'électromagnétisme en écrivant que le rayon de Bohr varie comme R , on obtient :

(20)

$$r_b = \frac{h^2}{m_e e^2} \approx R \quad e \approx \sqrt{R}$$

L'invariance de la constante de structure fine α permet de compléter le tableau :

(21)

$$\alpha = \frac{e^2}{\epsilon_0 h c} \quad \epsilon_0 = \text{Constant} \quad \mu_o \approx R$$

On pourrait retrouver ces résultats en prenant le problème par un autre bout, c'est-à-dire en postulant l'invariance des énergies électrique et magnétique. Tout ceci nous conduira à trouver que les longueurs caractéristiques de l'électromagnétisme, comme la distance de Debye varient comme R , tandis que les sections efficaces des collisions coulombiennes varient comme R^2 . De la même façon on trouvera que tous les temps caractéristiques de la physique, comme par exemple les temps de libre parcours moyen varient comme T [4].

Comme nous l'avons dit, notre but est de justifier la grande homogénéité de l'univers primitif sans avoir à faire recours à la théorie de l'inflation.

Au stade où nous en sommes nous allons devoir repartir des résultats présentés dans un travail précédent [18].

Rappelons que ce modèle bimétrique a été construit pour expliquer l'accélération cosmique, attribuée à une mystérieuse énergie noire, à un composant répulsif du cosmos. Dans cet article précédent nous avons montré que ce phénomène de répulsion pouvait être imputé à l'interaction entre notre propre matière, d'énergie et de masse positives, avec une seconde matière, de masse et d'énergie opposées. Notre propre matière étant censée suivre les géodésiques associées à une métrique g^+ , cette seconde matière suit des géodésiques associée à une métrique g^- . C'est notre conception d'un monde bimétrique, fort différente d'autres théories liées également au recours à deux métriques (une pour les photons et une pour les « gravitons »). Les photons du versant ou secteur à énergie positive, le nôtre, suivent les géodésiques de longueur nulle associée à la métrique g^+ . Les photons émis par les masses négatives possèdent également une énergie négative et cheminent selon des géodésiques de

longueur nulle de la seconde métrique g^- . Ces deux mondes étant disjoints, les structures d'énergie négative sont donc invisible pour nos yeux et nos appareils de mesure. Ils n'interagissent qu'à travers la force de gravitation. Quels chemins empruntent alors les gravitons ?

A cette question nous répondrons par :

- Qu'est-ce qu'un graviton ?

5) Lien avec notre modèle bimétrique

Nous avons dans le travail précédent supposé que le couplage entre ces deux mondes d'énergies opposées se traduisait par le système des deux équations de champ couplées suivantes :

(22)

$$S^+(g^+) = \chi(T^+ - T^-)$$

(23)

$$S^-(g^-) = \chi(T^- - T^+)$$

Nous avons chevauché l'hypothèse, réductrice, selon laquelle l'univers était isotrope et homogène. Nous avons ainsi pu construire deux métriques couplées ayant la forme de métriques de Robertson-Walker, chacune possédant son propre facteur d'échelle, soit R^+ pour la première métrique et R^- pour la seconde. Les calculs nous ont conduit aux équations différentielles couplées ci-après :

(24)

$$\frac{d^2 R^+}{dx^{\circ 2}} = -\frac{1}{(R^+)^2} \left(1 - \frac{(R^+)^3}{(R^-)^3} \right)$$

$$\frac{d^2 R^-}{dx^{\circ 2}} = -\frac{1}{(R^-)^2} \left(1 - \frac{(R^-)^3}{(R^+)^3} \right)$$

Si on part d'une configuration initiale où les deux facteurs d'échelle sont constants et égaux, le système devient instable et les deux valeurs diffèrent de plus en plus quand la variable chronologique x° croît.

La composante à énergie négative se comporte alors comme un composant répulsif comme une « énergie noire ».

Remarque :

Cette situation est difficile à comprendre car il n'existe pas d'image mentale pour s'en faire une idée. Considérons par exemple deux points A et B de coordonnées (comobiles)

(r1)

$$u_A, \varphi_A, \theta_A \quad \text{et} \quad u_B, \varphi_B, \theta_B.$$

Nous pourrions introduire un système de coordonnées adimensionnelles

(r2)

$$\zeta^1_A, \zeta^2_A, \zeta^3_A \quad \text{et} \quad \zeta^1_B, \zeta^2_B, \zeta^3_B$$

de telle manière qu'on puisse reconstruire des coordonnées cartésiennes selon :

(r3)

$$x^1_A = R^+ \zeta^1_A \quad x^2_A = R^+ \zeta^2_A \quad x^3_A = R^+ \zeta^3_A$$

(r4)

$$x^1_B = R^- \zeta^1_B \quad x^2_B = R^- \zeta^2_B \quad x^3_B = R^- \zeta^3_B$$

En supposant ces points assez voisins, on aurait, les séparant, deux distances

(r5)

$$d^+ = R^+ \sqrt{(\zeta^1_A - \zeta^1_B)^2 + (\zeta^2_A - \zeta^2_B)^2 + (\zeta^3_A - \zeta^3_B)^2}$$

(r6)

$$d^- = R^- \sqrt{(\zeta^1_A - \zeta^1_B)^2 + (\zeta^2_A - \zeta^2_B)^2 + (\zeta^3_A - \zeta^3_B)^2}$$

La quantité sous radical est constante, puisque les points A et B sont comobiles. Mais ils sont séparés par deux distances qui non seulement sont différentes, mais évoluent différemment au fil de la variable chronologique. Si celle-ci est identifiée à un temps cosmique t en posant : $x^0 = ct$, c étant considérée comme une constante absolue, ceci ne conviendrait pas pour le lointain passé de l'univers. Cette évolution linéaire serait beaucoup trop lente pour éviter que tout l'hydrogène ne soit transformé en hélium.

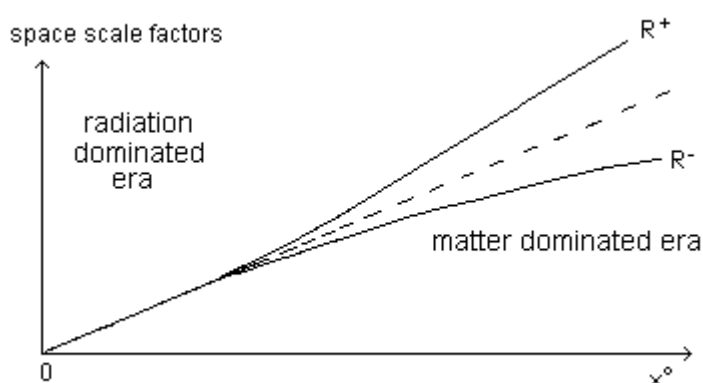


Figure 6 : Le modèle bimétrique où (R^+, R^-) sont des fonctions de x^0

Il nous faut donc envisager un processus évolutif différent, quand l'univers est dans son état primitif. Nous considérons qu'alors les deux facteurs d'échelle prennent la valeur commune R . Dans la figure 7 nous avons donné une image didactique d'une évolution d'un cosmos « composite » avec une rupture de symétrie. Nous avons pris x^0 comme fil conducteur, comme variable chronologique. L'évolution « macroscopique » de ce cosmos primitif est donc linéaire

pour les faibles valeurs de x° . Les géodésiques s'inscrivent alors sur un cône. Puis quand il y a brisure de symétrie les géodésique figurant des points comobiles avec des régions de l'univers vides poursuivent un trajet rectiligne. Mais à l'intérieur du cylindre l'espace cesse d'être en expansion. Ce gel de l'expansion est figuré par les géodésiques rouges qui sont à l'intérieur du cylindre. Le cylindre est censé être la surface sur laquelle s'inscrivent les géodésiques représentant les trajectoires des deux masses-témoins. Après la brisure de symétrie, ces géodésiques s'enroulent sur le cylindre selon des trajectoires hélicoïdales. La distance séparant les deux masses restent alors constante. Avant la brisure de symétrie ces géodésiques s'inscrivent sur un cône et la distance qui sépare les deux masses varie comme R .

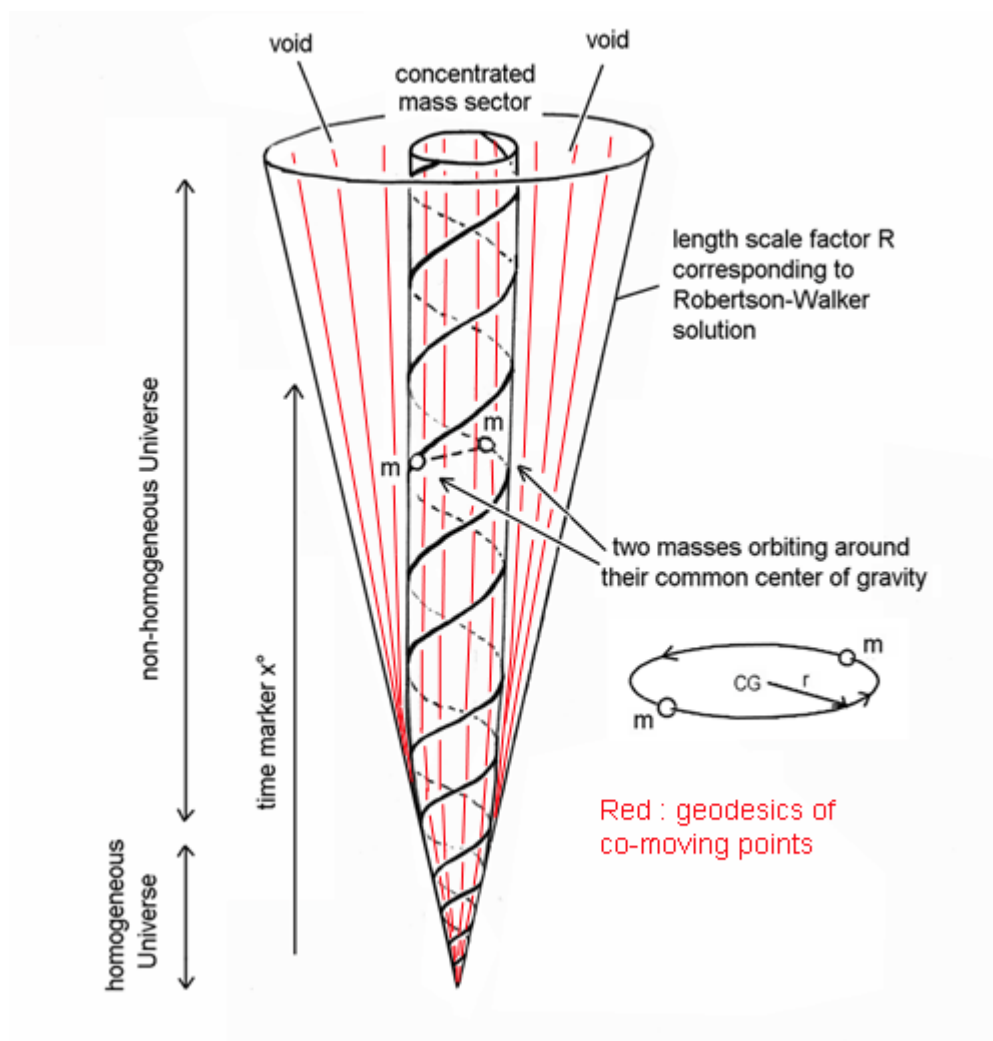


Figure 7 : En rouge, les trajectoires comobiles de particules, les lignes d'univers. En noir les trajectoires des masses-témoins. Avant la brisure de symétrie celles-ci s'inscrivent sur un cône, après elles s'inscrivent sur un cylindre

Avant la brisure de symétrie les deux métriques s'expriment de la même façon. Nous prenons $k = 0$ pour tenir compte de la platitude de l'univers.

(25)

$$ds^2 = dx^{\circ 2} - [R_{(x^{\circ})}]^2 [du^2 + u^2 (d\theta^2 + \sin^2 \theta d\varphi^2)]$$

En partant de la solution où R varie linéairement en fonction de la variable chronologique x° rendons la métrique conforme à une métrique de Lorentz (conformally flat).

(25)

$$ds^2 = [R(\tau)]^2 [d\tau^2 - du^2 - u^2 (d\theta^2 + \sin^2 \theta d\varphi^2)]$$

en introduisant une nouvelle variable chronologique $\tau = \text{Log } x^{\circ}$. Maintenant nous introduisons le facteur d'échelle de temps $T(\tau)$:

(26)

$$ds^2 = [c(\tau)]^2 [T(\tau)]^2 d\tau^2 - [R(\tau)]^2 [du^2 + u^2 (d\theta^2 + \sin^2 \theta d\varphi^2)]$$

On se rappellera que les géodésiques de longueur nulle sont invariantes par une transformation de jauge.

Plaçons-nous à une époque donnée, correspondent à une valeur τ_0 de cette nouvelle variable chronologique, puis considérons un intervalle $\Delta \tau$ assez petit pour pouvoir assimiler les fonctions $c(\tau)$, $T(\tau)$ et $R(\tau)$ à des constantes. La métrique devient :

(26) :

$$ds^2 = [C(\tau_0)]^2 [T(\tau_0)]^2 d\tau^2 - [R(\tau_0)]^2 [du^2 + u^2 (d\theta^2 + \sin^2 \theta d\varphi^2)]$$

Nous retrouvons, dans ce domaine limité de l'espace-temps la symétrie par les rotations de Lorentz. Et nous avons en outre :

(27)

$$R(\tau_0) = C(\tau_0) T(\tau_0)$$

Dans cet intervalle $(\tau_0, \tau_0 + \Delta \tau)$ posons

(28)

$$t = T(\tau_0) \tau$$

(29)

$$r = R(\tau_0) u$$

Nous prendrons (28) comme une définition du temps physique, celui que nous introduisons, à un moment donné de l'évolution dans les équations de la physique où figurent les valeurs des constantes correspondant à l'époque.

Toujours durant cet intervalle : $(\tau_0, \tau_0 + \Delta \tau)$ nous pouvons écrire la métrique :

(30)

$$ds^2 = [c(\tau_0)]^2 dt^2 - dr^2 - r^2 (d\theta^2 + \sin^2 \theta d\varphi^2)$$

Et en passant à des coordonnées cartésiennes :

(31)

$$ds^2 = [c(\tau_0)]^2 dt^2 - (dx^1)^2 - (dx^2)^2 - (dx^3)^2$$

En considérant les géodésiques de longueur nulle, $c(\tau_0)$ devient la vitesse de la lumière à l'instant τ_0

6) Résolution du problème de l'horizon cosmologique

Imaginons que la lumière se propage selon une direction x . Nous avons :

(32)

$$dx = c(\tau) dt$$

Exprimons tout en fonction de la jauge d'espace R .

(33)

$$c \approx \frac{1}{\sqrt{R}} \quad dt = T(\tau) d\tau \quad d\tau = \frac{dx^0}{x^0} = \frac{dR}{R} \quad T \approx R^{3/2}$$

L'horizon cosmologique correspond à l'intégrale :

(34)

$$horizon = \int c dt = \int_0^R C(\xi) T(\xi) \frac{d\xi}{\xi} = \int_0^R \frac{1}{\sqrt{\xi}} \xi^{3/2} \frac{d\xi}{\xi} = \int_0^R d\xi = R$$

Il varie comme le facteur d'échelle R , ce qui garantit l'homogénéité de l'univers à toutes les époques.

Dans ce modèle la longueur de Planck varie comme R tandis que le temps de Planck varie comme T . Ainsi la barrière de Planck disparaît. Rappelons que l'existence de cette barrière de Planck repose entièrement sur l'hypothèse de l'invariance absolue des constantes intervenant dans les équations, G , h et c . En postulant cette invariance nous projetons des aspects issus de la microphysique dans le lointain passé de l'univers.

7) A propos du temps.

Qu'appelons-nous " temps", quand nous spéculons sur l'état de l'univers dans son lointain passé, quand toutes les particules cheminent à des vitesses relativistes ? Dans ces conditions comment, avec quoi construire une horloge pour mesurer ce temps ? Si c'est impossible, quelle signification pourrions-nous attribuer à une grandeur que nous ne saurions mesurer ?

Revenons à notre modèle conceptuel, constitué de deux masses orbitant autour de leur centre de gravité commun. En règle générale il n'existe pas de mesure absolue de temps, mais seulement des mesures relatives. En d'autres termes, une mesure de temps ou d'espace n'a de sens que si un observateur peut intervenir. Comment imaginer des mesures quand aucun observateur ne peut avoir accès aux phénomènes, être témoin de l'évolution, à travers des instruments d'observation ?

Reprenons notre variable chronologique x° considérée comme un simple fil conducteur, notre fil d'Ariane. Essayons de calculer le nombre de tours effectués par les masses, dans notre système, e, l'assimilant à une horloge élémentaire, depuis la valeur $x^\circ = 0$ -jusqu'à la valeur $x^\circ = X^\circ$

La période de révolution est :

(35)

$$period = \frac{2 \pi r^{3/2}}{G m}$$

Mais :

(36)

$$G m = constant \quad r \approx R \quad period \approx R^{3/2} \approx x^\circ{}^{3/2}$$

Pendant un certain intervalle dx° de la variable chronologique notre horloge élémentaire effectue le nombre de tours :

(37)

$$dn = \frac{dx^\circ}{x^\circ{}^{3/2}}$$

Entre $x^\circ = 0$ et $x^\circ = X^\circ$ le nombre de tours est :

(38)

$$n = \int_0^{X^\circ} \frac{dx^\circ}{x^\circ{}^{3/2}} = \left[\frac{1}{\sqrt{x^\circ}} \right]_0^{X^\circ} = \text{infinite}$$

Si on considère qu'un tour qu'effectuent ces deux masses autour de leur centre de gravité commun peut être considéré comme un « évènement élémentaire » alors cela signifierait qu'entre la valeur zéro et la valeur X° de la variables chronologique x° se produirait un nombre *infini* d'évènements élémentaires. On touche là au paradoxe de Zénon d'Elée, celui d'Achille et de sa tortue.

Quelle signification donner à un tel résultat ? L'histoire cosmique possède-t-elle un commencement ? Cette question a-t-elle tout simplement un sens ?

Imaginons l'univers comme un livre ouvert à une page que nous appelons « présent ». Les pages suivantes représentent le futur et les pages précédentes le passé. La variable chronologique, d'extension finie, pourrait être comparée à l'épaisseur de l'ouvrage. En feuilletant ce livre à rebrousse-temps nous espérons accéder à sa préface, là où l'auteur aurait consigné ce qu'il projetait, en composant cet ouvrage. Mais voici qu'en procédant à l'opération les pages deviennent .. de plus en plus fines, infiniment fines. Et cette préface nous échappe.

8) L'évolution des constants de la physique

Nous avons suppose qu'une brisure de symétrie se produisait, dans l'univers primitif, pendant la phase radiative. Antérieurement à cette brisure de symétrie l'évolution est alors décrite par les équations (12) à (21). Une question émerge : quand cette transition se manifeste-t-elle et pourquoi ?

Si nous reprenons l'image didactique du cube avec ses huit coins arrondis, il évoque un univers contenant huit masses. La longueur caractéristique des masses est leur longueur de Compton. On peut imaginer que chaque coin arrondi ne contient qu'une seule masse.

Quand on remonte dans le passé, les huit huitièmes de sphères entrent en contact. Alors de telles masses ne peuvent exister. En astrophysique il est courant de considérer que des objets matériels cessent d'exister lorsqu'il n'y a plus assez de place pour qu'ils puissent « caser leur fonction d'onde ». C'est le cas par exemple pour les étoiles à neutrons. Quand le noyau d'une supernova se trouve comprimé à l'extrême, les électrons et les protons « se combinent » pour donner des neutrons, l'énergie en excès étant évacuée sous forme de neutrinos. En d'autres termes les électrons, ne trouvant plus la place nécessaire pour « s'ébattre », disparaissent. Il reste les neutrons.

Que se passe-t-il si le milieu est encore comprimé au point que les neutrons eux-mêmes ne peuvent plus « exister » ? Y aurait-il alors « brisure de symétrie » ?

Dans notre esprit il existe une parenté entre la façon dont nous imaginons l'univers, dans son état le plus primitif, et ce qui se passe au cœur des étoiles à neutrons. Dans les deux cas de figure, quelque chose est censé se passer lorsque la densité dépasse un certain seuil critique.

En utilisant la densité comme « paramètre leader » nous pouvons écrire :

(39)

$$G \approx \sqrt{\rho} \quad m \approx m_e \approx \frac{1}{\sqrt{\rho}} \quad h \approx \rho^{-3/4} \quad c \approx v \approx \rho^{1/4} \quad \mu_o \approx \frac{1}{\sqrt{\rho}}$$

$$R \approx \frac{1}{\sqrt{\rho}} \quad T \approx \rho^{-3/4} \quad E \approx \rho^{-3/4} \quad B \approx \sqrt{\rho} \quad e \approx \rho^{-1/4}$$

Nous pouvons introduire une certaine fonction de la densité, selon

(40)

$$G = G_o \sqrt{\mathcal{G}(\rho)} \quad m = m_o \frac{1}{\sqrt{\mathcal{G}(\rho)}} \quad h = h_o [\mathcal{G}(\rho)]^{-3/4}$$

$$c = c_o [\mathcal{G}(\rho)]^{1/4} \quad e = e_o [\mathcal{G}(\rho)]^{-1/4}$$

et en optant par exemple pour la loi très simple :
(41)

$$g(\rho) = 1 + \frac{\rho}{\rho_{cr}} = 1 + x$$

nous obtiendrions :

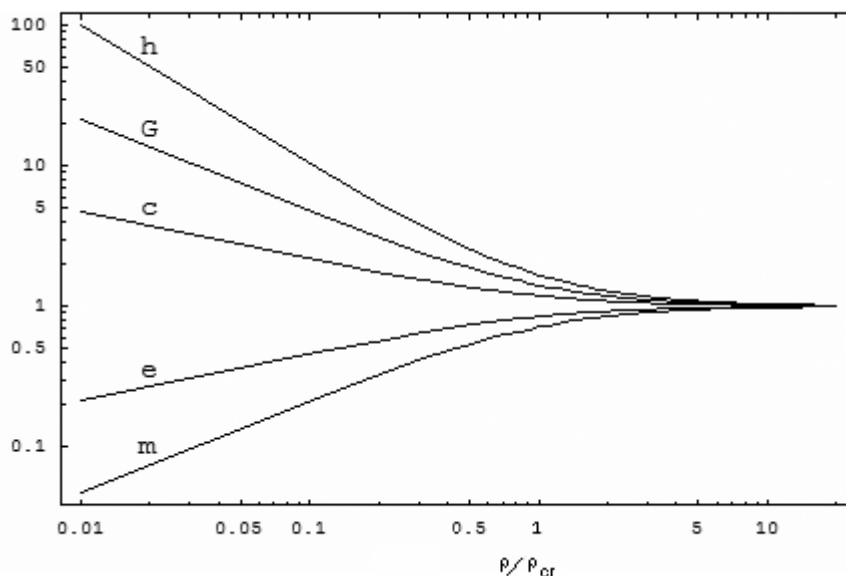


Figure 3 : **Evolutions comparées des différentes constantes dans l'univers primitif**

Nous conjecturons que lorsque des phénomènes conduisent à des objets où la densité atteint une certaine valeur critique, ceci agit sur les valeurs locales des constantes de la physique. La valeur locale de la vitesse de la lumière s'accroît. Les facteurs d'échelle et de temps sont aussi atteints. Tout ceci conduirait à un scénario d'implosion différent du scénario du classique trou noir, avec par exemple apparition d'un pont hypertorique où, sur une « sphère de gorge » l'énergie des particules absorbées serait inversée. Leur mouvement centripète se muerait en mouvement centrifuge. Du fait de l'inversion de leur masse et de leur énergie elles n'interagiraient alors plus avec les particules de masse et d'énergie positive. Dans un futur article nous rendrons compte des travaux que nous avons effectués dans cette direction.

A titre de remarque nous rappellerons que l'inversion de l'énergie équivaut à l'inversion du temps, comme rappelé dans la référence [18]. Lorsque l'on voudrait, conceptuellement, passer outre à cette barrière $x^0 = 0$ il se pourrait que l'on débouche sur une inversion de la flèche du temps.

Cette configuration dite « initiale » sera élucidée de manière géométrique. Nous pensons que la question « que se passe-t-il avant l'instant zéro » n'est pas une bonne façon de formuler la question

Conclusion

On part de la remarque que la solution de Robertson-Walker, qui suppose que le cosmos est isotrope et homogène, ne décrit pas l'univers observé, puisque celui-ci est très inhomogène et qu'on suppose que l'expansion n'affecte pas les vastes régions occupées par les galaxies. On suggère que cette inhomogénéité est née d'une brisure de symétrie, survenue dans un lointain passé qui a fait perdre à l'hypersurface tridimensionnelle sa symétrie $O(3)$.

Partant de l'hypothèse que les masses, et en particulier un couple de masses m liées par la gravitation et orbitant autour d'un centre de gravité commun suivent des géodésiques de l'hypersurface quadridimensionnelle espace-temps on montre que ceci n'est possible, si on souhaite conserver la validité des équations de la physique, que si les constantes qui y figurent varient conjointement, sont impliquées dans un processus de jauge généralisé où se mêlent également les jauges d'espace et de temps. .

On établit les relations qui lient entre elles toutes ces grandeurs. On obtient ainsi une description de l'évolution cosmique où l'horizon varie comme la jauge d'espace, le facteur d'échelle R , ce qui assure l'homogénéité de l'univers primitif sans avoir besoin de recourir à la théorie de l'inflation.

Dans ce processus de jauge généralisé, antérieurement à cette brisure de symétrie, toutes les longueurs caractéristiques de la physique varient comme la jauge d'espace R , tandis que tous les temps caractéristiques varient comme la jauge de temps T . Au passage, la barrière de Planck disparaît.

En nous centrant sur un système de référence constituée par deux masses orbitant autour d'un centre de gravité commun, nous l'assimilons à une horloge élémentaire où le temps serait identifié au nombre de tours effectués. Après la brisure de symétrie, quand les constantes de la physique se comportent comme des constantes absolues, ce nombre de tours croît comme la variable chronologique x° . Mais si on remonte au contraire vers la valeur $x^\circ = 0$ on obtient un nombre infini de tours, ce qui pose le problème de la nature du temps et la question de « l'origine ».

References

- [1] J.P. Petit (Nov. 1988). "An interpretation of cosmological model with variable light velocity". *Modern Physics Letters A*, 3 (16): 1527.
- [2] J.P. Petit (Dec. 1988). "Cosmological model with variable light velocity: the interpretation of red shifts". *Modern Physics Letters A*, 3 (18): 1733.
- [3] J.P. Petit, M. Viton (1989). "Gauge cosmological model with variable light velocity. Comparizon with QSO observational data". *Modern Physics Letters A*, 4 (23): 2201–2210.
- [4] J.P. Petit (1995). "Twin Universes Cosmology". *Astronomy and Space Science* (226): 273–307.
- [5] A. Albrecht, J. Magueijo (1999). "A time varying speed of light as a solution to cosmological puzzles". *Phys. Rev. D*59. arXiv:astro-ph/9811018
- [6] J. Magueijo (2003). "Faster Than the Speed of Light: The Story of a Scientific Speculation". Perseus Books Group, Massachusetts. ISBN 0738205257
- [7] J.W. Moffat (1993). "Superluminary Universe: A Possible Solution to the Initial Value Problem in Cosmology". *Int. J. Mod. Phys. D*2, 351–366. arXiv:gr-qc/9211020
- [8] J.D. Barrow (July 24, 1999). "Is nothing sacred?". *New Scientist* 163 (2196): 28–32.
- [9] C.B. Netterfield *et al.* (2002). "A measurement by BOOMERANG of multiple peaks in the angular power spectrum of the cosmic microwave background". *Astrophys. J.* (571): 604-614. arXiv:astro-ph/0104460
- [10] C.L. Bennet *et al.* (2003). "First Year Wilkinson Microwave Anisotropy Probe (WMAP) Observations: Preliminary Maps and Basic Results". *Astrophys.J.Suppl.* 148. arXiv:astro-ph/0302207
- [11] G. Amelino-Camelia (2002). "Doubly-Special Relativity: First Results and Key Open Problems". *Int. J. of Mod. Phys. D*11, 1643. arXiv:gr-qc/0210063
- [12] J.D. Barrow & J. Magueijo (2000). "Can a Changing α Explain the Supernovae Results?". *Astrophys. J. Lett.* 532, L 87–90.
- [13] M.A. Clayton, J.W.Moffat (1999). *Phys. Lett. B* (460): 263-270. arXiv:astro-ph/9907354
- [14] S. Alexander (2000). "On The Varying Speed of Light in a Brane-Induced FRW Universe". *JHEP* 0011 017, arXiv:hep-th/9912037
- [15] J. Magueijo (2001). "Stars and black holes in varying speed of light theories". *Phys. Rev. D*63, 043502.
- [16] J. Magueijo, L. Smolin (Dec. 18, 2001). "Lorentz invariance with an invariant energy scale". *Phys.Rev.Lett.* (88) 190403. arXiv:hep-th/0112090
- [17] B.A. Basset, S. Liberati, C. Molina-Paris, M. Visser (2000). "Geometrodynamics of Variable Speed of light Cosmologies". *Phys.Rev. D*62 103518. arXiv:astro-ph/0001441
- [18] J.P. Petit, G. d'Agostini (August 2007). "Bigravity as an interpretation of the cosmic acceleration". CITV (Colloque International sur les Techniques Variationnelles, tr. *International Meeting on Variational Techniques*), Le Mont Dore. arXiv:math-ph/0712.0067
- [19] J.P. Petit, G. d'Agostini (August 2007). "Bigravity: A bimetric model of the Universe. Positive and negative gravitational lensings". CITV (Colloque International sur les Techniques Variationnelles, tr. *International Meeting on Variational Techniques*), Le Mont Dore. arXiv:math-ph/0801.1477
- [20] R. Adler, M. Bazin, M. Schiffer (1975). "Introduction to General Relativity", Mc-Graw Hill Books Cie, 2nd edition. ISBN 0070004234
- [21] A.H. Guth (1981). "Inflationary universe: A possible solution to the horizon and flatness problems". *Phys. Rev. D* 23 (2):347–356.
- [22] A.D. Linde (1982). "A new inflationary universe scenario: A possible solution of the horizon, flatness, homogeneity, isotropy and primordial monopole problems". *Phys. Lett.* B108, 1220.
- [23] A. Albrecht, P. Steinhardt (April 1982). "Cosmology for Grand Unified Theories with Radiatively Induced Symmetry Breaking". *Phys. Rev. Lett.* 48 (17):1220–1223.
- [24] A.D. Linde (1983). "The inflationary Universe". *Phys. Lett. B* 129, 177179.
- [25] J.P. Petit (July 1994). "The missing mass problem". *Il Nuovo Cimento B*, 109: 697–710.
- [26] J.P. Petit, P. Midy, F. Landsheat (June 2001). "Twin matter against dark matter". Intern. Meet. on Astrophys. and Cosm. "Where is the matter?", Marseille, France.